

## ЛИТЕРАТУРА

1. Христианович С. А. Ударная волна на больших расстояниях от места взрыва. ПММ, 1956, № 6.
2. Гриб А. А., Рыжов О. С., Христианович С. А. Теория коротких волн. ПМТФ, 1960, № 1.
3. Ханукаев А. Н., Ваниягин И. Ф., Гоголев В. М., Маркин В. Г. О распространении волн напряжений при взрыве в твердых породах. Зап. Ленингр. горн. ин-та им. Г. В. Плеханова, 1961, т. XIV, вып. 1.
4. Медведева Н. С., Шемякин Е. И. Волны нагрузки при подземном взрыве в горных породах. ПМТФ, 1961, № 6.
5. Рахматуллин Х. А., Ю. А. Демьянов. Прочность при интенсивных кратковременных нагрузках. 1961.
6. Бидерман В. Л. Расчеты на ударную нагрузку. Основы современных методов расчета на прочность в машиностроении. Сб. под ред. С. Д. Пономарева. Машгиз, 1952.
7. Григорьян С. С., Гриб А. А., Зволянский Н. В., Качанов Л. М., Петрашень Г. И. О работах Е. И. Шемякина «Расширение газовой полости в несжимаемой упруго-пластической среде (к изучению действия взрыва на грунт)» и Н. С. Медведевой и Е. И. Шемякина «Волны нагрузки при подземном взрыве в горных породах». Изв. АН СССР, сер. Механика и машиностроение, 1962, № 5.
8. Glapwill W. The creep or flow of reinforced concrete, London, 1930.

## ПРИБЛИЖЕННОЕ УРАВНЕНИЕ СОСТОЯНИЯ ТВЕРДЫХ ТЕЛ

**В. М. Гоголев, В. Г. Мыркин, Г. И. Яблокова**  
(Ленинград)

В ряде задач, связанных с изучением сильных ударных волн в твердых телах, необходимы сведения об их термодинамических свойствах при высоких нагрузках. В настоящее время для изучения указанных свойств широкое распространение получил так называемый метод ударного сжатия [1-10]. Этот метод позволяет получить ударную адиабату для исследуемого материала. Используя ударную адиабату и теоретическую модель твердого тела в приближении Дебая или в более точном приближении, можно получить уравнение состояния и другие термодинамические соотношения.

Большое разнообразие твердых материалов и недостаточная изученность их свойств при ударном сжатии ставят вопрос о рассмотрении возможности обобщения экспериментальных данных и получения унифицированных соотношений, описывающих термодинамические свойства определенного класса твердых материалов, которые позволили бы произвести экстраполяцию этих свойств на другие материалы. Такое обобщение в точном смысле едва ли возможно. Однако для задач прикладного характера во многих случаях оказывается достаточным наличие приближенных сведений по этому вопросу.

Ниже приводятся результаты обобщения экспериментальных данных [1-10] по ударному сжатию металлов, горных пород и ряда других твердых материалов. Предлагается единая ударная адиабата для указанных материалов. На основе теоретической модели твердого тела в приближении Дебая и ударной адиабаты дается обобщенное уравнение состояния, выражение для внутренней энергии и ряд других термодинамических соотношений для твердых тел. Эти результаты носят приближенный характер.

§ 1. **Обобщенная ударная адиабата.** В настоящее время достаточно подробно изучена ударная сжимаемость металлов [1-5, 8-10]. Кроме того, в опубликованной литературе имеются экспериментальные данные по ударному сжатию ряда горных пород [6, 11] и некоторых других твердых материалов [6, 7]. Рассмотрим возможность их обобщения и получения единой ударной адиабаты. Для сопоставления указанных данных необходимо их привести к безразмерному виду. В качестве размерных параметров, которые характеризовали бы вид твердого материала, представляется рациональным выбрать скорость звука  $c_0$  в невозмущенной среде и плотность  $\rho_0$ .

На фиг. 1 приведены экспериментальные точки по ударному сжатию твердых пород и родственных им материалов в системе координат

$$\Delta P = \frac{P - P_0}{\rho_0 c_0^2}, \quad M = \frac{u}{c_0}$$

где  $p - p_0$  — скачок давления на фронте ударной волны, распространяющейся по невозмущенной среде,  $u$  — скорость частиц на фронте ударной волны. Из рассмотрения фигуры видно, что для различных материалов опытные точки достаточно хорошо согласуются между собой без каких-либо заметных систематических отклонений.

На фиг. 2 в той же системе координат приведены экспериментальные точки для безразмерных давлений до величин  $\sim 35$ . Так как для больших давлений сведения об ударной сжимаемости твердых пород отсутствуют, то на фигуре приведены точки для металлов; в данном случае опытные точки для различных материалов хорошо согласуются.

Ниже на основании приведенных данных сделана попытка получить единую ударную адиабату для твердых пород, металлов и ряда других материалов.

При аппроксимации опытных данных по сжимаемости жидкостей и твердых тел часто используют аналитическую зависимость вида

$$\Delta P = \frac{p - p_0}{\rho c_0^2} = \frac{1}{A} \left[ \left( \frac{p}{\rho_0} \right)^n - 1 \right] \quad (1.1)$$

где  $A$  и  $n$  — постоянные, определяемые по опытным данным. Используя условия динамической совместности, перейдем в (1.1) к переменным  $\Delta P$ ,  $M$

$$M^2 = \Delta P [1 - (A \Delta P + 1)^{-1/n}] \quad (1.2)$$

В результате аппроксимации данных фиг. 1 и 2 получаем

$$A = 5.5, \quad n = 5 \quad \text{при } 0.1 \leq \Delta P \leq 35 \quad (1.3)$$

$$A = 3, \quad n = 3 \quad \text{при } 0 \leq \Delta P \leq 0.1 \quad (1.4)$$

Фиг. 1. Кривая-расчет по формуле (1.2); точки:

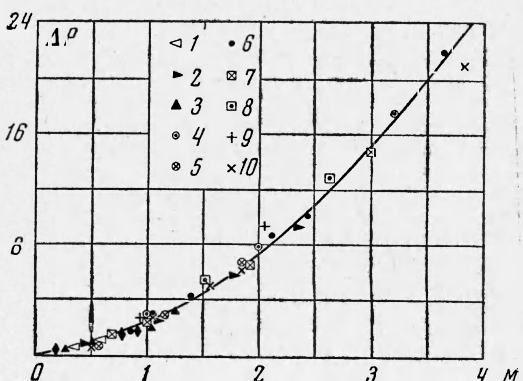
- 1 — мрамор ( $\rho_0 = 275$ ,  $c_0 = 3810$ )
- 2 — кварц ( $\rho_0 = 270$ ,  $c_0 = 3700$ )
- 3 — парафин ( $\rho_0 = 92.8$ ,  $c_0 = 3000$ )
- 4 — NaCl монокристалл ( $\rho_0 = 220$ ,  $c_0 = 3318$ )
- 5 — CO<sub>2</sub> твердая ( $\rho_0 = 157$ ,  $c_0 = 2050$ )
- 6 — туф розовый ( $\rho_0 = 194$ ,  $c_0 = 1950$ )
- 7 — туф белый ( $\rho_0 = 163$ ,  $c_0 = 1300$ )

$$[\rho_0] = \text{сек}^2/\text{м}^4, \quad [c_0] = \text{м/сек}$$

На фиг. 1 и 2 график зависимости (1.2) с учетом (1.3) и (1.4) показан сплошными линиями. Этот график достаточно хорошо согласуется с экспериментальными точками. Относительное отклонение опытных точек от кривой лежит в пределах десяти процентов.

Фиг. 2. Кривая-расчет по формуле (1.2); точки:

- 1 — парафин
- 2 — CO<sub>2</sub> твердая
- 3 — NaCl монокристалл
- 4 — Cd ( $\rho_0 = 891$ ,  $c_0 = 2410$ )
- 5 — Cu ( $\rho_0 = 908$ ,  $c_0 = 3980$ )
- 6 — Pb ( $\rho_0 = 1154$ ,  $c_0 = 2020$ )
- 7 — Sn ( $\rho_0 = 743$ ,  $c_0 = 2760$ )
- 8 — Zn ( $\rho_0 = 728$ ,  $c_0 = 3030$ )
- 9 — туф белый
- 10 — туф розовый



Следует отметить, что формула (1.2) при условии (1.4) носит интерполяционный характер, так как в этом диапазоне давлений опытные данные отсутствуют.

Подробное сопоставление аппроксимации (1.2) при условиях (1.3) и (1.4) с опытными данными для различных металлов дано на фиг. 3. Это сопоставление еще раз показывает хорошее совпадение опытных данных с аппроксимацией (1.2) — (1.4).

В плоскости переменных  $\Delta P$  и  $\rho/\rho_0$  имеет место несколько больший разброс экспериментальных точек. В связи с этим отклонение опытных точек от кривой (1.2) достигает 20%.

Таким образом, проведенное сопоставление опытных данных для различных твердых пород, металлов и ряда других материалов показывает, что для приближенного описания ударной сжимаемости этих материалов можно использовать обобщенную ударную адиабату (1.1).

§ 2. Уравнение состояния для твердых тел. Знание ударной адиабаты твердого тела позволяет получить уравнение состояния и другие термодинамические характеристики, если использовать теоретическую модель твердого тела в приближении Дебая. Известно [12], что в этом приближении внутренняя энергия и уравнение состояния могут быть представлены в виде

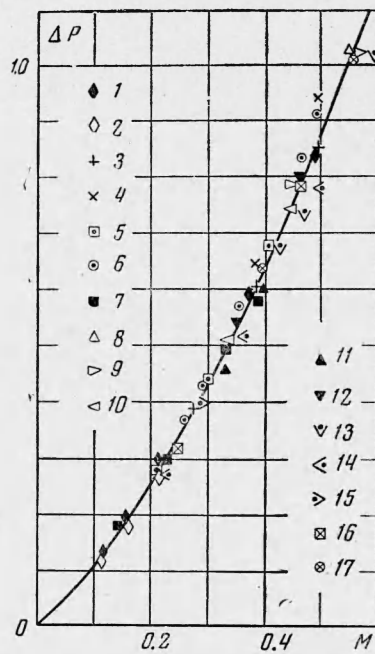
$$E = E_x(v) + E_m(v, T) \quad (2.1)$$

$$p = \frac{\partial E}{\partial v} + \gamma(v) \frac{E_m}{v} \quad (2.2)$$

Здесь  $p$  — давление,  $T$  — температура,  $v$  — удельный объем,  $E_x$  — энергия холодного сжатия,  $E_m$  — энергия, связанная с тепловыми

Фиг. 3. Кривая-расчет по формуле (1.2); точки:

1 — Co	( $\rho_0 = 900$ , $c_0 = 4630$ )
2 — Be	( $\rho_0 = 188$ , $c_0 = 7800$ )
3 — Th	( $\rho_0 = 1190$ , $c_0 = 2050$ )
4 — Tl	( $\rho_0 = 1210$ , $c_0 = 1830$ )
5 — Zn	
6 — Cd	
7 — Zr	( $\rho_0 = 662$ , $c_0 = 3330$ )
8 — Ag	( $\rho_0 = 1070$ , $c_0 = 3190$ )
9 — Au	( $\rho_0 = 1960$ , $c_0 = 3050$ )
10 — Cr	( $\rho_0 = 725$ , $c_0 = 5150$ )
11 — Mo	( $\rho_0 = 1040$ , $c_0 = 5190$ )
12 — Ni	( $\rho_0 = 905$ , $c_0 = 4630$ )
13 — Ti	( $\rho_0 = 460$ , $c_0 = 4840$ )
14 — V	( $\rho_0 = 622$ , $c_0 = 5180$ )
15 — W	( $\rho_0 = 1955$ , $c_0 = 4050$ )
16 — Sn	( $\rho_0 = 743$ , $c_0 = 2760$ )
17 — Cu	( $\rho_0 = 908$ , $c_0 = 3980$ )



движениями частиц,  $\gamma$  — коэффициент Грюнейзена. В этих выражениях  $E_m$ ,  $E_x$  и  $\gamma$  являются неизвестными функциями. Если они будут определены, то будет получено полное термодинамическое описание твердого тела. Рассмотрим их определение. Тепловая энергия в этом случае может быть вычислена следующим образом [12]:

$$E_m = c_v T \quad (2.3)$$

Если предположить, что температура тела с одной стороны заметно выше комнатной, а с другой стороны не превосходит десятков тысяч градусов, то согласно закону Дюлонга и Пти [12] будем иметь

$$c_v \approx c_p = \text{const} \quad (2.4)$$

т. е. теплоемкости при постоянном объеме и давлении одинаковы и постоянны. Таким образом, тепловая энергия полностью определяется (2.2) и (2.3) в упомянутом выше интервале температур. Для определения энергии холодного сжатия используется ударная адиабата [1, 8]. Для этого из условия динамической совместности

$$E - E_0 = 1/2 (p + p_0) (v - v_0)$$

где  $E_0$ ,  $p_0$ ,  $v_0$  — значения параметров перед фронтом ударной волны, исключается тепловая часть энергии при помощи (2.1) и (2.2). В результате получается уравнение для определения энергии холодного сжатия по ударной адиабате

$$\frac{d\Delta E_x}{dv} + \frac{\gamma}{v} \Delta E_x = - \frac{\gamma}{2} \left( h - \frac{v_0}{v} \right) (p - p_0) + \gamma p_0 \left( \frac{v_0}{v} - 1 \right) - p_0 + \frac{\gamma}{v} E_{m_0} \quad (2.5)$$

Здесь индекс 0 обозначает величины параметров среды в невозмущенном состоянии, значение давлений берется на ударной адиабате (1.1)

$$\Delta E_x = E_x - E_{x0}, \quad h = (2 + \gamma) / \gamma$$

Это уравнение определяет энергию холодного сжатия с точностью до несущественной аддитивной постоянной.

Для определения коэффициента Грюнейзена Л. Д. Ландау и Слетером [1-4] была предложена зависимость

$$\gamma = -\frac{2}{3} - \frac{v}{2} \frac{d^2 p_x / dv^2}{dp_x / dv} \quad \left( p_x = -\frac{\partial E_x}{\partial v} \right) \quad (2.6)$$

Здесь  $p_x(v)$  давление холодного сжатия,  $E_x$  — энергия холодного сжатия.

Несколько позже Макдоальдом и Дугдейлом была предложена более точная, однако более громоздкая формула [1-4, 8]. Для целей настоящей работы удобнее использовать зависимость (2.6). Совокупность соотношений (2.5) и (2.6) дает дифференциальное уравнение для определения энергии холодного сжатия. Однако точное решение этого уравнения возможно лишь численными методами и сопряжено с большими трудностями. Поэтому проведем приближенное решение указанного уравнения. Расчеты показывают, что коэффициент Грюнейзена является медленно изменяющейся функцией по сравнению с остальными переменными величинами в (2.5). В связи с этим, проинтегрируем (2.5), считая, что  $\gamma$  постоянно. Затем при помощи (2.6) определим зависимость  $\gamma$  от  $v$ . Прежде чем выполнить это, перейдем к безразмерным переменным

$$P = \frac{p}{p_0 c_0^2}, \quad V = \frac{v}{v_0}, \quad \varepsilon_x = \frac{\Delta E_x}{c_0^2}, \quad \varepsilon_m = \frac{c_v T}{c_0^2} \quad (2.7)$$

Делая замену в (2.5) согласно (2.7) и выполняя интегрирование, получим

$$\varepsilon_x = \varepsilon_x^{(1)}(V) + \frac{P_0}{2} \left[ 1 - \frac{\gamma+2}{\gamma+1} V \right] + V^{-\gamma} \left[ \frac{P_0}{2(\gamma+1)} - \varepsilon_{m0} \right] + \varepsilon_{m0} \quad (2.8)$$

где

$$\begin{aligned} \varepsilon_x^{(1)} = & \frac{\gamma}{2A} \left\{ \frac{1}{\gamma} \left[ i - \frac{(\gamma+2)}{(\gamma+1)} V \right] + \frac{1}{(n-\gamma)} \left[ i - \frac{(\gamma+2)(n-\gamma)}{\gamma(n-\gamma-1)} V \right] V^{-n} + \right. \\ & \left. + \frac{n(n+1)}{\gamma(\gamma+1)(n-\gamma)(n-\gamma-1)} V^{-\gamma} \right\} \end{aligned} \quad (2.9)$$

Величины  $A$  и  $n$  определяются согласно (1.3) — (1.4).

Таким образом, соотношения (2.1), (2.3) и (2.8) позволяют получить выражение для внутренней энергии. Из (2.2), (2.7) и (2.3) получаем уравнение состояния

$$P = P_x(V) + \frac{\gamma}{V} \varepsilon_m \quad (2.10)$$

где

$$P_x = P_x^{(1)}(V) + \frac{P_0}{2} \frac{\gamma+2}{\gamma+1} + \frac{\gamma}{V^{\gamma+1}} \left[ \frac{P_0}{2(\gamma+1)} - \varepsilon_{m0} \right] \quad (2.11)$$

$$\begin{aligned} P_x^{(1)}(V) = & \frac{\gamma}{2A} \left\{ \frac{n}{n-\gamma} \left[ \frac{(\gamma+2)(n-\gamma)(n-1)}{\gamma(n-\gamma-1)n} V - 1 \right] V^{-(n+1)} - \right. \\ & \left. - \frac{n(n+1)}{(\gamma+1)(n-\gamma)(n-\gamma-1)} V^{-(\gamma+1)} - \frac{1}{\gamma} \frac{(\gamma+2)}{(\gamma+1)} \right\} \end{aligned} \quad (2.12)$$

Величина  $\gamma$  определяется из (2.6) и (2.11). Пренебрегая начальными значениями параметров в (2.11), получаем

$$\gamma = -\frac{2}{3} - \frac{1}{2} \frac{B_1(n+1) - B_2(n+2)V^{-1} - B_3(\gamma+2)V^{n-\gamma-1}}{B_1 - B_2V^{-1} - B_3V^{n-\gamma-1}} \quad (2.13)$$

где

$$B_1 = \frac{(\gamma+2)(n-1)n}{n-\gamma-1}, \quad B_2 = \frac{n(n+1)}{n-\gamma}, \quad B_3 = \frac{\gamma n(n+1)}{(n-\gamma)(n-\gamma-1)}$$

График функции  $\gamma(V)$  приведен на фиг. 4. Аналитическая зависимость

$$\gamma = 2.3V^{1.23} \quad (2.14)$$

дает достаточно хорошую аппроксимацию графика фиг. 4.

Таким образом, соотношения (2.1), (2.3), (2.8), (2.10) и (2.14) дают выражение для внутренней энергии и уравнение состояния для металлов, твердых пород и ряда других материалов.

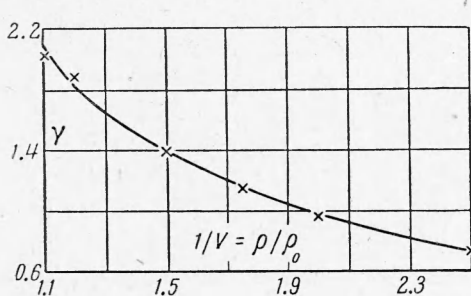
На фиг. 5 даны для сопоставления ударная адиабата и изотерма холода сжатия (2.11) с учетом (2.14). При сравнительно небольших давлениях эти кривые мало отличаются одна от другой. Представляет интерес аналитическая оценка разности этих величин. Введем для этого величину

$$\delta = \frac{\rho - \rho_0}{\rho_0}$$

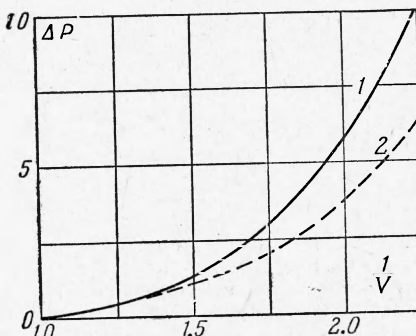
Считая ее малой по сравнению с единицей и разлагая выражения (1.1) и (2.11) в ряд по  $\delta$ , получим

$$\begin{aligned} \Delta P - P_x^{(1)} &= \frac{1}{A} \left\{ \frac{n\gamma(n+1)[(n-1)(n-2\gamma) + \gamma(\gamma-1)]}{12(n-\gamma)(n-\gamma-1)} \delta^3 + \right. \\ &+ \left. \frac{\gamma n(n+1)[(n-1)(n-2)(2n-3\gamma) + \gamma(\gamma-1)(\gamma-2)]}{2 \cdot 4! (n-\gamma)(n-\gamma-1)} \delta^4 + \dots \right\} \quad (2.15) \end{aligned}$$

Так как  $V$  при этом изменяется мало, считаем  $\gamma$  постоянной. Из (2.15) следует,



Фиг. 4. Кривая-расчет по формуле (2.13); точки — расчет по формуле (2.14)



Фиг. 5. Сопоставление ударной адиабаты 1 с изотермой холода сжатия 2

что разность между ударной адиабатой и изотермой холода сжатия при относительно малых давлениях пропорциональна  $\delta^3$ .

**§ 3. Выражение для энтропии твердого тела.** Согласно определению дифференциал энтропии имеет вид

$$ds = \frac{dE}{T} + \frac{p dv}{T} \quad (3.1)$$

В соответствии с принятыми выше допущениями имеем

$$dE = \frac{\partial E_x}{\partial v} dv + c_v dT \quad (3.2)$$

Подставив (3.2) в (3.1), получим

$$ds = \frac{1}{T} \left[ \frac{dE_x}{dv} + p \right] dv + c_v \frac{dT}{T} \quad (3.3)$$

Перейдем в (3.3) к безразмерным величинам

$$S = \frac{s}{c_v}, \quad P = \frac{p}{\rho_0 c_0^2}, \quad V = \frac{v}{v_0}, \quad e_x = \frac{E_x}{c_0^2}, \quad e_m = \frac{c_x T}{c_0^2}$$

Используя уравнение состояния (2.10), получим

$$dS = \frac{\gamma}{V} \frac{de_m}{e_m} \quad (3.4)$$

Интегрируя это равенство от точки начального состояния ( $S = S_0$ ,  $V = 1$ ,  $e_m = e_{m0}$ ) до произвольного состояния, получим

$$S - S_0 = \ln \frac{e_m V^\gamma}{e_{m0}} \quad (3.5)$$

Это соотношение представляет собой обобщенное выражение энтропии  $S$  твердого тела через параметры его состояния. Следует отметить внешнее сходство выражения (3.5) с выражением для энтропии идеального газа. В последнем случае роль коэффи-

циента Грюнайзена играет роль

$$\left( \frac{c_p}{c_v} - 1 \right)$$

Если в твердом теле имеет место изоэнтропический процесс, то из (3.5) и (2.10) получается следующее выражение для адиабаты Пуассона

$$V^{\gamma+1} [P - P_x(V)] = \text{const} \quad (3.6)$$

Из (3.6) следует, что произведение теплового давления на удельный объем в степени  $(\gamma + 1)$  есть величина постоянная, т. е. и в данном случае имеет место отмеченная выше аналогия с идеальным газом. Эта аналогия связана с допущением (2.3).

Чтобы получить оценку скачка энтропии на фронте ударной волны в зависимости от ее интенсивности, исключим из (3.5) тепловую энергию при помощи уравнения состояния (2.10)

$$S - S_0 = \ln \left\{ 1 + \frac{[P - P_x] V^{\gamma+1} - \gamma e_{m0}}{\gamma e_{m0}} \right\} \quad (3.7)$$

При сравнительно небольшой интенсивности ударной волны дробь в выражении (3.7) мала. Поэтому представим логарифм в виде ряда

$$S - S_0 = \frac{[P - P_x] V^{\gamma+1} - \gamma e_m}{\gamma e_{m0}} + \dots$$

Воспользовавшись (2.15) и разложив  $V^{\gamma+1}$  в ряд по  $\delta$ , получим

$$S - S_0 = \frac{1}{\gamma A_2 e_{m0}} \{A_1 \delta^3 + [A_2 - A_1(\gamma + 1)] \delta^4 + \dots\} \quad (3.8)$$

где  $A_1$  — коэффициент из (2.15) при  $\delta^3$ ,  $A_2$  — коэффициент из (2.15) при  $\delta^4$ . Из этого выражения следует, что скачок энтропии на фронте ударной волны пропорционален скачку плотности в степени не ниже 3.

Таким образом, на основании обобщения экспериментальных данных по ударному сжатию металлов, твердых пород и ряда других непористых материалов удалось получить единую для этих материалов ударную адиабату. В результате использования теоретической модели твердого тела и единой ударной адиабаты получено обобщенное уравнение состояния, выражение для внутренней энергии и энтропии, которые могут быть использованы для приближенного описания термодинамических свойств металлов, твердых пород и ряда других твердых непористых материалов.

Поступила 25 II 1963

#### ЛИТЕРАТУРА

- Альтишлер Л. В., Крупников К. К., Бражник М. И. Динамическая сжимаемость металлов при давлениях от четырехсот тысяч до четырех миллионов атмосфер. Журн. эксперим. и теорет. физ., 1958, т. 34, № 4.
- Альтишлер Л. В., Крупников К. К., Леднев Б. Н., Жихин В. И., Бражник М. И. Динамическая сжимаемость и уравнение состояния железа при высоких давлениях. Журн. эксперим. и теорет. физ., 1958, т. 34, № 4.
- Альтишлер Л. В., Кулешова Л. В., Павловский М. Н. Динамическая сжимаемость, уравнение состояния и электропроводность хлористого натрия при высоких давлениях. Журн. эксперим. и теорет. физ., 1960, т. 39, № 1.
- Альтишлер Л. В., Баканова А. А., Труни Р. Ф. Ударные адиабаты и нулевые изотермы семи металлов при высоких давлениях. Журн. эксперим. и теорет. физ., 1962, т. 42, № 1.
- Жарков В. Н., Калинин В. А. Уравнение состояния железа до давлений в несколько миллионов атмосфер. Докл. АН СССР, 1960, т. 135, № 4.
- Дремин А. Н. Исследование ударного сжатия мрамора и кварца. Ученый совет по народнохозяйственному использованию взрыва СО АН СССР, 1960, № 16.
- Зубарев В. Н., Телегин Г. С. Ударная сжимаемость жидкого азота и твердой углекислоты. Докл. АН СССР, 1962, т. 142, № 2.
- Walsh J. M., Rice M. H., McQueen R. G. Shock-Wave Compressions of Twenty-seven Metals. Equations of state of Metals. Phys. Rev., 1957, 108, 2.
- Bancroft D., Peterson E., Minshall S. Polymorphism of Iron at High Pressure. J. Appl. Phys., 1956, vol. 27, No. 3.
- McQueen R. G. and Marsh S. P. Equation of state for Nineteen Metallic Elements from Shock-Wave Measurements to Two Megabars. J. Appl. Phys., 1960, 31, 7.
- Johnson G. W., Higgins G. H., Violet C. E. Underground Nuclear Detonations. J. Geophys. Res., 1959, 64, 10.
- Ландау Л., Лифшиц Е. Статистическая физика, 1951., М.—Л.